

УДК 536.25

## **ЭВОЛЮЦИЯ ПРОСТРАНСТВЕННЫХ СПЕКТРОВ ПРИ ПЕРЕХОДЕ ОТ ЛАМИНАРНОЙ КОНВЕКЦИИ К ТУРБУЛЕНТНОЙ**

**БОГАТЫРЕВ Г. П., ЗИМИН В. Д.**

Экспериментально исследовались пространственные спектры термогравитационной конвекции при переходе от ламинарных режимов к турбулентным в подогреваемом снизу коротком горизонтальном цилиндре. По экспериментальным данным для каждого набора определяющих параметров задачи строился базис, удовлетворяющий условию диагональности корреляционной матрицы коэффициентов разложения профилей температуры в среднем горизонтальном сечении цилиндра. Использование таких базисов существенно упрощает описание области перехода. Показано, что при возникновении турбулентного режима конвекции пространственный спектр кризисным образом расширяется.

В исследованиях перехода от ламинарной конвекции к турбулентной фиксируют внимание на изменениях во временных спектрах пульсаций температуры и скорости в некоторых точках пространства. Возникновение стохастических режимов конвекции сопровождается либо кризисным расширением пиков, соответствовавших периодическим колебаниям, либо кризисным ростом фона. В связи с кризисным характером таких переходов можно говорить, что дискретный спектр сменяется сплошным, хотя фоновая составляющая может присутствовать и в режимах регулярных конвективных колебаний.

Развитая турбулентная конвекция характеризуется не только хаотическим изменением полей температуры и скорости во времени, но и хаотическим изменением этих величин в пространстве. В связи с этим наряду с возникновением временной хаотичности при сохранении сравнительно простой структуры течения большой интерес представляет исследование эволюции пространственных спектров в области перехода от ламинарной конвекции к турбулентной.

В данной работе эти вопросы исследуются экспериментально на примере подогреваемой снизу замкнутой полости. Полость, заполненная дистиллированной водой, имела форму короткого горизонтального цилиндра диаметром  $D=30,9$  мм, и длиной  $d=4,7$  мм. На торцах цилиндра задавался однородный градиент температуры  $A$ , направленный под углом  $\alpha$  к вертикали. Для изменения  $\alpha$  вся модель поворачивалась вокруг горизонтальной оси цилиндра. На диаметральной линии, которая проходит на равном расстоянии от торцов цилиндра и при  $\alpha=0$  располагается горизонтально, с шагом 2,6 мм были расположены спайи 11 термопар. Подробное описание модели приведено в [1].

С помощью коммутирующего устройства термопары поочередно подключались к цифровому вольтметру Ц68000, информация с которого передавалась в ЭВМ. Время опроса всех термопар составляло 1,8 с, что примерно в 10 раз меньше характерного периода высокочастотных пульсаций для данной модели.

Стационарные режимы конвекции для  $\alpha < 12^\circ$  и числах Рэлея  $R = g\beta v^{-1} \chi^{-1} A (d/2)^4$  в диапазоне  $0 < R < 70$  описаны в [2]. Обнаружено четыре типа стационарных движений, отличающихся друг от друга числом

конвективных ячеек. Вертикальный размер ячеек совпадает с вертикальным размером полости в месте их расположения. Внутри каждой ячейки завихренность сохраняет один и тот же знак, меняя его при переходе к соседним ячейкам. Профиль температуры на линии расположения термопар однозначно определяет тип стационарного движения.

В [1, 3] для анализа профилей температуры использовалась аналоговая схема, выполняющая преобразование Фурье по пространственным переменным в реальном времени. Это позволило исследовать временные спектры амплитуд низших пространственных гармоник  $\sin [\pi(n+1)D^{-1}x]$  в режимах стохастических колебаний [3].

В данном случае для каждого набора определяющих параметров  $R$  и  $\alpha$  находилась корреляционная матрица  $P_{nm} = \langle a_n a_m \rangle$  коэффициентов  $a_n(t)$  в разложении профилей температуры по синусоидальным функциям

$$T = \sum_n a_n(t) s_n(x), \quad s_n = \sqrt{\frac{2}{D}} \sin \frac{\pi(n+1)x}{D} \quad (1)$$

Установлено, что для всех режимов конвекции в исследованном диапазоне  $R$  и  $\alpha$  матрица  $P_{nm}$  недиагональна, т. е. коэффициенты  $a_n(t)$  скоррелированы.

Статистическое описание исследуемых процессов существенно упрощается, если перейти от базиса  $s_n(x)$  к новому функциональному базису  $f_n(x)$ , для которого коэффициенты разложения

$$T(x, t) = \sum_n b_n(t) f_n(x) \quad (2)$$

не коррелируют:  $\langle b_n b_m \rangle = R_{nm} \propto \delta_{nm}$ .

Исходный базис  $s_n(x)$  подвергался ортогональному преобразованию

$$f_n(x) = \sum_m Q_{nm} s_m(x) \quad (3)$$

При этом коэффициенты  $a_n$  и матрица  $P_{nm}$  преобразуются по формулам

$$b_n = \sum_m Q_{nm} a_m \quad (4)$$

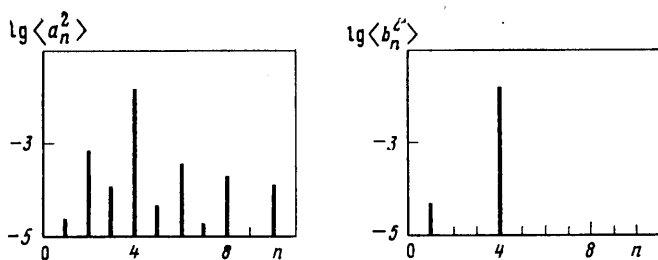
$$R_{nm} = \sum_{lk} Q_{nl} P_{lk} Q_{km} \quad (5)$$

Матрица  $Q_{nm}$  находится в результате решения задачи на собственные значения

$$\sum_m P_{nm} Q_{km} = \lambda_k Q_{kn} \quad (6)$$

При этом матрица  $R_{nm}$  становится диагональной. Коэффициенты  $b_n$  являются амплитудами пространственных мод  $f_n(x)$ , которые далее будем называть собственными.

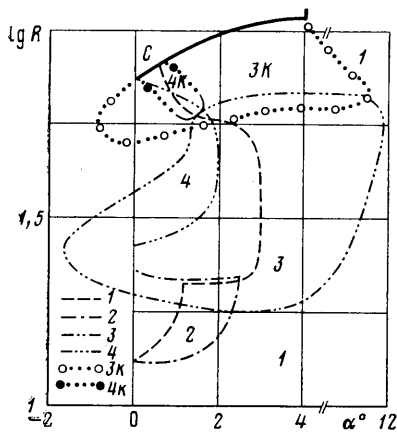
Применение описанной процедуры к стационарному движению приводит к матрице  $P_{nm} = a_n a_m$ . Все собственные числа такой матрицы, за исключением одного:  $\lambda_k = b_k^2$ , равны нулю. Индекс  $k$  определяет число ячеек, соответствующее данному типу стационарного движения. Этому собственному числу соответствует базисная функция  $f_k$ , которая дает аппроксимацию стационарного профиля температуры  $T(x)$  конечным числом членов ряда (1). Базисная функция  $f_k$  зависит от  $R$  и  $\alpha$ . Независимо от числа отсчетов на оси  $x$  или, что то же самое, от числа рассматриваемых членов в разложении (1), фазовое пространство системы при переходе к бази-



Фиг. 1

су  $f_n$  становится одномерным, а состояние системы изображается точкой на расстоянии  $b_n$  от начала координат.

Удобство использования базиса  $f_n$  для описания нестационарных режимов конвекции определяется тем, насколько сокращается размерность фазового пространства при переходе от  $s_n$  к  $f_n$ . На фиг. 1 приведены спектры  $\langle a_n^2 \rangle$  и  $\langle b_n^2 \rangle$  для  $R=70$  и  $\alpha=30'$ . За единицу измерения амплитуд  $a_n$  и  $b_n$  принята величина  $AD$ . Нижняя граница диаграммы выбрана на уровне  $10^{-5}$ , соответствующем уровню шумов в отсутствие конвекции.



Фиг. 2

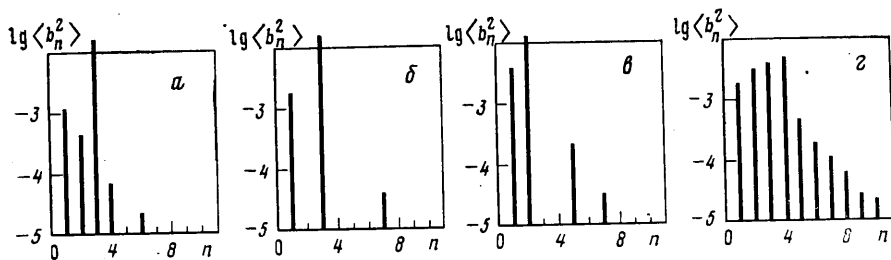
Этот уровень определялся при  $\alpha=0$ . Как видно из диаграммы, разложение (1) дает девять значимых коэффициентов, тогда как собственных мод всего две. Доминирующей является четвертая мода.

В данных экспериментах наблюдались стационарные режимы конвекции, колебательные режимы с доминирующей собственной модой и режимы стохастических колебаний с широким пространственным спектром. Карта режимов для  $R < 115$  и  $\alpha < 12^\circ$  приведена на фиг. 2. Цифрами 1–4 обозначены области существования стационарных движений. Число конвективных ячеек совпадает с порядковым номером области.

Колебательные режимы с доминирующей пространственной модой  $n$  обозначены  $nk$ . Наблюдались колебания с доминированием трехъячейстой структуры  $3k$  и четырехъячейстой  $4k$ . Буквой  $C$  обозначена область существования стохастических колебаний. Число точек в обозначениях границ областей соответствует числу конвективных ячеек. Прямые штрихи соответствуют стационарным режимам, а волновые — колебательным. Границы областей определены с погрешностью 3%, за исключением границы области  $C$ , погрешность определения которой составляет 6%.

Режимы, приведенные на фиг. 2, получены при медленном изменении параметров  $R$  и  $\alpha$ , начиная от точки, принадлежащей квадранту  $\alpha > 0$ . Тип движения и направление циркуляции жидкости в ячейках может сохраняться и после смены знака  $\alpha$ . Две такие области изображены на карте в квадранте  $\alpha < 0$ . Полная карта режимов получится в том случае, если все границы областей на фиг. 2 зеркально отразить относительно линии  $\alpha=0$  и изобразить все полученные области на одном рисунке.

Если изменять определяющие параметры задачи достаточно малыми ступеньками вдоль некоторой траектории на плоскости  $(R, \alpha)$ , то смена движения одного типа другим происходит кризисным образом при пересечении границы области существования исходного движения. При обратном движении вдоль той же траектории новое движение сменится исход-



Фиг. 3

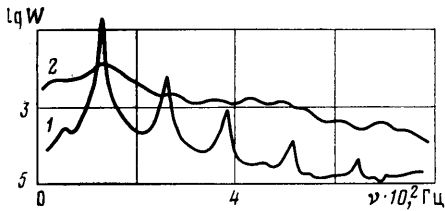
ным уже в другой точке, а именно при пересечении границы области существования второго движения. Карта режимов отражает все гистерезисные явления, наблюдавшиеся при медленном изменении параметров задачи.

В тех случаях, когда после пересечения границы области существования исходного движения система попадает в зону наложения нескольких областей, из всех возможных режимов на смену исходному появляется тот, который наиболее близок к исходному по числу конвективных ячеек. Таким образом, пользуясь картой, легко выбрать траекторию, которая обеспечит в данной области любой из возможных в ней режимов конвекции.

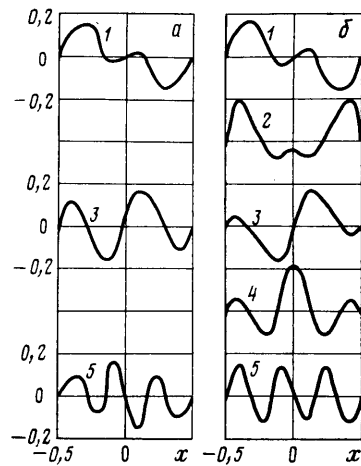
Когда о кризисных изменениях течения судят только по появлению новых независимых гармоник во временных спектрах, то кризисные изменения пространственной структуры могут быть не замечены. Это может быть, например, в том случае, когда имеет место синхронизация колебаний всех мод доминирующей пространственной модой. Кризисные изменения пространственной структуры трудно обнаружить и по спектрам  $\langle a_n^2 \rangle$ . Наиболее чувствительны к перестройке течения спектры  $\langle b_n^2 \rangle$ .

На фиг. 3 представлена эволюция пространственного спектра  $\langle b_n^2 \rangle$  с ростом  $R$  при  $\alpha=0$ . Первые три спектра относятся к колебательному режиму конвекции с доминированием третьей моды ( $R=53, 55$  и  $70$ ). Второе место по величине среднеквадратичной амплитуды занимает первая мода. С ростом  $R$  среднеквадратичная амплитуда первой моды возрастает, достигая вблизи порога возникновения стохастического режима примерно 60% от среднеквадратичной амплитуды третьей моды. Четвертый спектр, приведенный на фиг. 3, соответствует стохастическому режиму при  $R=73$ . В этом случае возбуждены все собственные пространственные моды, которые могли быть зарегистрированы в данном эксперименте. При дальнейшем росте  $R$  огибающая дискретного спектра  $\langle b_n^2 \rangle$  приобретает вид, характерный для диссипативного интервала пространственного спектра развитой турбулентности [4].

Порог возбуждения стохастического режима определяется параметрами  $R$  и  $\alpha$  и не зависит от того, какова структура предшествующего ему движения. Например, как видно из фиг. 2, режим  $C$  возникает при  $\alpha=40'$  как из стационарного режима  $I$ , так и из колебательных режимов  $3k$  и  $4k$  при одном и том же числе Рэлея. При возрастании  $R$  режимы  $3k$  и  $4k$  исчезают в результате разрушения ячеистой структуры колебаниями крупномасштабной циркуляции жидкости, соответствующей первой моде. Об этом говорит тот факт, что вблизи границы области  $C$  среднеквадратичная амплитуда первой моды приближается к амплитуде доминирующей моды. Аналогичным образом происходит переход к режиму  $C$  от стационарного четырехъячеистого движения. Визуальные наблюдения такого перехода описаны в [1]. Вблизи границы области  $C$  возникают колебания одноячейистой циркуляции жидкости, которые разрушают четырехъячейистое движение. Колебательный режим с доминированием первой



Фиг. 4



Фиг. 5

моды не устанавливается из-за его неустойчивости к более мелкомасштабным возмущениям. В области  $C$  недалеко от ее границы наблюдается перемежаемость пространственных мод.

Внутри областей, изображенных на фиг. 2, наблюдаются кризисные изменения пространственной структуры движения, не сопровождающиеся сменой доминирующей моды. Например, внутри области  $3k$  при  $\alpha=0$  амплитуды первой и третьей моды изменяются с ростом  $R$  монотонно, а пятая мода возбуждается жестко, возникая с конечной амплитудой при  $R=56$ . При  $R<56$  ее амплитуда ниже уровня шумов. С появлением пятой моды скорость роста  $\langle b_1^2 \rangle$  становится меньше, а  $\langle b_3^2 \rangle$  начинает уменьшаться с ростом  $R$ . Чем больше  $\alpha$ , тем при больших  $R$  возбуждается пятая мода.

Если, оставаясь в области  $3k$ , уменьшить  $R$ , то при подходе к границе области 4 в пространственном спектре начинают расти четные моды. Это видно из сопоставления спектров при  $R=51$  и 53 на фиг. 3. При  $R=49$  устанавливается четырехъячеестое стационарное движение.

Пространственные спектры в области  $4k$  исследованы при  $\alpha=30'$ . Если  $R<71$ , то в спектрах присутствуют лишь четвертая и первая мода (фиг. 1). При  $R=71$  мягко возбуждается седьмая мода. С увеличением  $R$  амплитуда доминирующей четвертой моды уменьшается, как и в случае режима  $3k$ , а  $\langle b_1^2 \rangle$  и  $\langle b_2^2 \rangle$  увеличиваются. Перед возникновением стохастического режима  $\langle b_1^2 \rangle$  примерно в 3 раза меньше, чем  $\langle b_4^2 \rangle$ , тогда как внутри области  $4k$  они отличаются более чем в 100 раз (фиг. 1).

С помощью аналоговой схемы, позволяющей выделять собственные моды в реальном времени, были зарегистрированы временные реализации пульсаций первой, третьей и пятой собственных мод в режиме  $3k$  при  $\alpha=0$ . Анализ этих реализаций показывает, что знак амплитуды третьей доминирующей моды сохраняется во времени. Знаки у амплитуд первой и пятой мод изменяются, хотя обе эти моды имеют постоянные составляющие. Во временных спектрах амплитуд  $b_1(t)$ ,  $b_3(t)$  и  $b_5(t)$  наблюдаются одинаковые частоты. Различие состоит лишь в соотношениях кратных гармоник и в ширине пиков.

На фиг. 4 приведены временные спектры первой моды при  $\alpha=0$  и двух значениях  $R$ . При  $R=62$  (кривая 1) спектр имеет пики на кратных частотах. Колебания не строго периодические: пики широкие, значительный уровень имеет фоновая составляющая. Во временном спектре первой моды при  $R=73$ , когда режим становится стохастическим, кратных частот нет, спектр сплошной. В пространственном спектре для такого режима возбуждены все собственные моды ( $R=73$ , фиг. 3, г). Таким образом,

стохастический режим характеризуется случайным поведением системы как во времени, так и в пространстве.

Отметим, что режим  $C$  отличается от стохастических режимов конвекции, описанных в [5], где в колебаниях участвует небольшое число мод, а стохастичность наблюдается только временная. Пространственная структура движения остается сравнительно простой. В данных экспериментах режимам, подобным описанным в [5], являются режимы  $3k$  и  $4k$ .

Идея представления случайных функций в виде суперпозиции компонент фиксированного функционального вида со случайными взаимно некоррелированными коэффициентами, использованные выше, заимствованы из [6].

На фиг. 5 приведены нормированные собственные функции для  $a$  — квазипериодического конвективного течения ( $R=62$ ) и  $b$  — для стохастического режима ( $R=73$ ) при  $\alpha=0$ . В том и в другом случаях собственные моды существенно отличаются от синусоидальных.

#### ЛИТЕРАТУРА

1. Богатырев Г. П., Гилев В. Г. Надкритические конвективные движения в коротком горизонтальном цилиндре.— Изв. АН СССР. МЖГ, 1980, № 4, с. 137—142.
2. Богатырев Г. П., Гилев В. Г. Экспериментальное исследование надкритических конвективных движений в щелевой полости.— В сб.: Конвективные течения. Пермь: Изд-во Пермск. ун-та, 1979, с. 25—30.
3. Богатырев Г. П., Гилев В. Г., Зимин В. Д. Пространственно-временные спектры стохастических колебаний в конвективной ячейке.— Письма в ЖЭТФ, 1980, т. 32, вып. 3, с. 229—232.
4. Зимин В. Д., Кетов А. И. Турбулентная конвекция в подогреваемой снизу кубической полости.— Изв. АН СССР. МЖГ, 1978, № 4, с. 133—138.
5. Любимов Д. В., Пугин Г. Ф., Чернагинский В. И. О конвективных движениях в ячейке Хеле-Шоу.— Докл. АН СССР, 1977, т. 235, № 3, с. 554—557.
6. Яглом А. М. Спектральные представления для различных классов случайных функций.— Тр. 4-го Всесоюз. матем. съезда. Т. 1. Л.: Изд-во АН СССР, 1963, с. 250—273.

Пермь

Поступила в редакцию  
21.III.1985